

## 옻의 특징과 옻을 지지재로 사용한 전자파 흡수체의 두께에 따른 전파흡수 특성 분석

김동일\* · 최동한\* · 김기만\*

\*한국해양대학교 전파공학과

### An Analysis of Natural Lacquer Characteristics and EM Wave Absorber's Absorption Characteristics Using Natural Lacquer as a Binder

Dong-Il Kim\*, Dong-Han Choi\*, Ki-Man Kim\*

\*Dept. of Radio Science, National Korea Maritime University

**요약 :** 고성능 복합형 전자파 흡수체를 개발하기 위해 종래에는 지지재로서 주로 Silicone 고무나 CPE(Chloride Polyethylene)가 사용되어 왔다. 본 연구에서는 전통 공예에서 사용되어 오던 옻에 대한 특성을 분석하고 옻의 전자파 흡수능을 실험을 통하여 평가하였다. 또한, 옻을 지지재로 사용하여 MnZn 페라이트와 배합하여 전자파 흡수체를 제작한 경우의 전자파 흡수능 및 흡수체의 두께에 따른 흡수능을 실험적으로 평가하였다. 옻을 지지재로 한 MnZn 페라이트 복합형 전자파 흡수체는 CPE나 Silicone 고무를 지지재로 한 전자파 흡수체에 비하여 우수한 전파흡수특성이 나타나었으며, 옻을 지지재로 사용한 전자파흡수체의 두께 변화에 따라 정합주파수와 전파흡수능이 변화하는 것으로 나타났다.

**핵심용어 :** 복합형 전자파 흡수체, 옻, 실리콘 고무, CPE, MnZn 페라이트

**Abstract :** Generally, a silicone rubber and a chloride polyethylene(CPE) have been used as a binder for high-performance composite EM(Electromagnetic) wave absorbers. In this study, the EM wave absorption abilities for natural lacquer which is newly suggested as a binder were investigated. MnZn ferrite composite EM wave absorbers mixed with the natural lacquer were prepared and their absorption ability was also investigated. The prepared MnZn ferrite composite EM wave absorbers mixed with natural lacquer showed an improved EM wave absorption characteristics compared with MnZn ferrite EM wave absorbers mixed with the conventional binders, such as a silicone rubber and a chloride polyethylene(CPE). The matching frequency and the absorption ability of EM wave absorbers varied with the thickness of them.

**Key words :** Composite electromagnetic wave absorber, Natural lacquer, Silicone rubber, CPE, MnZn ferrite.

### 1. 서 론

다양한 전자기기의 개발이 현대인이 매우 편리한 생활을 누리는데 크게 기여하고 있음은 누구나 인지하고 있는 사실이다. 그러나 이와 같은 문명의 혜택은 과거에는 예상치 못한 새로운 문제를 제시하고 있다. 예를 들어 전자 기기에서 발생하는 전자파로 인한 기기 상호간의 전자파 간섭에 의한 컴퓨터의 오동작, 항해하는 선박에서 만들어 내는 전자파가 해상의 교량 등에 부딪혀 생기는 허상으로 인한 사고 위험의 증가, 그리고 최근에 휴대전화의 사용이 급증하면서 많은 사람들의 관심을 모으고 있는 휴대전화 사용으로 인한 인체의 유해성 여부 논란 등을 들 수 있다(山下博司, et al., 1978), (橋本康雄, 佐野乾, 栗原弘, 1988).

전자파 흡수체는 전파를 흡수하여 열에너지로 변환하는 특

성을 갖는 재료를 이용하여 불필요한 전자파를 흡수하여 반사파가 생기지 않도록 하는 재료이다. 전파흡수 재료를 크게 나누면 도전손실재료, 유전손실재료, 자성손실재료로 분류할 수 있고 이중에서 자성손실재료는 일반적으로 산화물 자성재료인 페라이트(Ferrite)가 사용되고 있다(Y., 1997).

페라이트 전자파 흡수체는 원하는 형상을 유지하기 위해 지지재와 함께 가공되고 있으며 지지재로 고무, CPE (Chloride polyethylene), Silicone rubber등이 널리 사용되고 있다. 그러나 최근 본 연구실의 연구를 통하여 우리나라 등에서 전통공예품의 장식에 유약으로 사용되어 오던 옻이 전자파 흡수능을 갖는다는 사실이 밝혀졌다.

따라서 본 연구에서는 지금까지 페라이트 전자파 흡수체에 대표적인 지지재로 사용되어 오던 CPE, 그리고 Silicone rubber와 본 연구에서 새롭게 제안하는 옻이 갖고있는 전자파

\* 대표저자 : 김동일(총신회원), dikim@mail.hhu.ac.kr, 051)410-4314

\*\* 정희원, dongdong@bada.hhu.ac.kr, 051)410-4932

\*\*\* 정희원, kimkim@mail.hhu.ac.kr, 051)410-4423

흡수능을 비교하고 또한 이들과 MnZn 페라이트를 혼합한 전자파 흡수체를 제작하여 그 특성을 조사하고 옻을 지지재로 이용한 전자파 흡수체의 두께변화에 따른 흡수능을 조사하였다. 특히, 본 연구에서는 복합형 전자파 흡수체에 요구되는 광대역 특성을 갖는 전자파 흡수체의 개발을 위한 대안으로서 옻을 지지재로 하는 MnZn 페라이트 전자파 흡수체의 가능성을 제시하고자 한다.

## 2. 옻의 특징

옻은 수 천년 동안 동양에서 전해져 내려오는 도료로서 미술공예품이나 칠기뿐만 아니라 식기, 가구, 창호 등에 사용되고 있다. 이 천연도료의 도장법은 효소반응으로 경화되기 때문에 일반도료와는 다른 경화 메카니즘을 가지고 있다. 이러한 효소의 작용 때문에 도막의 건조 시 온도와 습도의 조건이 중요하다. 옻의 효소는 0 °C이하의 저온에서는 반응이 늦어지고 50 °C이상의 고온이 되면 활성을 잃어버리는 특징을 가지고 있다. 그러므로 도막의 건조 시 45 °C의 온도와 약 75 %의 습도를 유지하는 것이 무엇보다도 중요하다(홍 외, 2000).

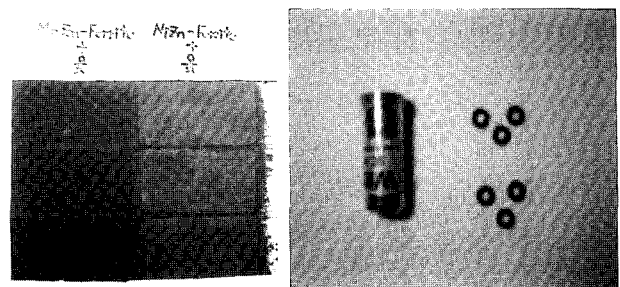
전통적으로 사용되고 있는 옻은 여러 가지 구성성분과 특징을 가지고 있다. 이미 알려진 바와 같이 옻의 구성성분은 테이블 1에서처럼 우리시울이 60~65 %의 함유량을 가지고 있으며 그 외에도 고무질(다당류), 함유질소(단당백), 락카아제(효소), 그리고 물이 각각 소량 함유되어 있다(홍 외, 2000).

Table 1 The Composition of Oriental Natural Lacquer

Composition	Concentration(%)	MW(g/mole)
Urushiol	60~65	320
Gummy substance	5~7	22000
Nitrogen compounds	2~3	8000
Laccase	0.2~0.9	120000
Water	25~30	18

## 3. 흡수체 제작

한국전통공예에 사용되어오던 옻과 페라이트를 서로 잘 혼합되도록 10분 이상 배합하여 흡수체를 제작하였다. 옻의 특징에서 보신바와 같이 기존의 지지재와 마찬가지로 옻도 고무성분을 가지고 있어서 페라이트와 혼합하여 흡수체로 제작할 수 있다. Fig. 1은 옻과 페라이트를 혼합하여 만든 흡수체의 모습과 실제 샘플홀더와 흡수능을 측정하기 위해 가공된 샘플의 사진이다. Fig. 1의 (a)가 제작된 흡수체의 모습이고, (b)가 샘플홀더와 가공된 샘플의 모습이다.



(a) Fabricated absorber      (b) Processed sample  
Fig. 1 Fabricated absorber and Processed sample

## 3. 전자파 흡수능 측정

전자파 흡수능 측정을 위해 펀치를 이용하여 내경 3.05 mm, 외경 6.95 mm의 토로이드형상을 갖게 하였다. Fig. 2와 3은 본 실험에서 반사계수와 투자율 측정을 위해 사용한 Network Analyzer와 샘플 홀더(Sample Holder)의 실제 사진과 도면을 나타낸 것이다.

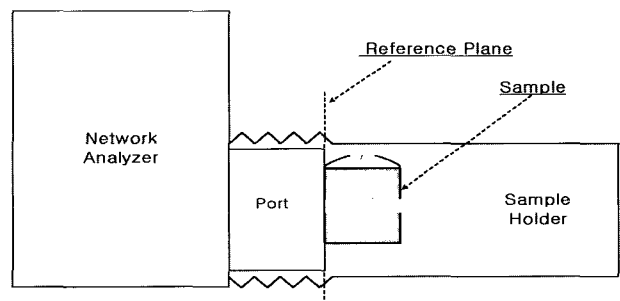
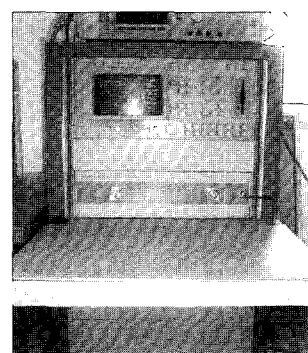


Fig. 2 Reflection coefficient measurement system of sample.

지지재로서 샘플(Sample)들의 전자파 흡수능을 측정하기 위해서 Fig. 3에 나타낸 샘플홀더에 페라이트와 혼합하지 않은 순수 지지재의 샘플을 삽입하고 Fig. 2의 Network Analyzer에 밀착 고정시킨 다음 One-Port Method 방법으로 반사계수를 측정하였다.

각 샘플의 재료정수를 측정하기 위해 샘플의 길이가  $\lambda/3$  mm,  $2L=6$  mm인 샘플을 Fig. 3에서 나타낸 샘플홀더에 삽입한 후, 각각의 반사계수( $S_{5mm}$ ,  $S_{10mm}$ )를 측정한다. 측정된 반사계수를 식 (1)과 (2)에 대입하여 재료정수(비유전율, 비투자

율)를 계산한다(Kim, et al., 2001), (Y., 1983), (김 외 1999), (박과 김, 1999). 재료정수는 측정된 반사계수 데이터를 Matlab 프로그램으로 계산하였다.

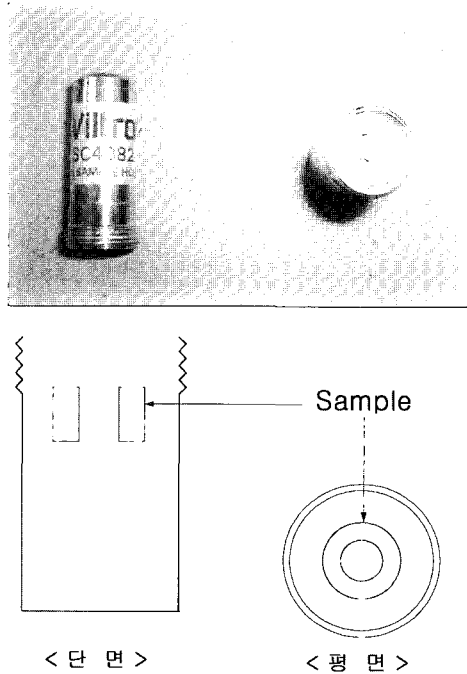


Fig. 3 Sample holder's structure

$$\epsilon_r = -j \frac{C}{2\pi f} \frac{\frac{1}{l} \tanh^{-1} \sqrt{\frac{2Z_1 - Z_2}{Z_2}}}{Z_1 \sqrt{\frac{Z_2}{2Z_1 - Z_2}}} \quad (1)$$

$$\mu_r = -j \frac{C}{2\pi f} \frac{1}{l} \tanh^{-1} \sqrt{\frac{2Z_1 - Z_2}{Z_2}} \cdot Z_1 \sqrt{\frac{Z_2}{2Z_1 - Z_2}} \quad (2)$$

여기서,

$$Z_1 = \mathcal{Z}(l) = \frac{1 + S_{3mm}}{1 - S_{3mm}} \quad Z_2 = \mathcal{Z}(2l) = \frac{1 + S_{6mm}}{1 - S_{6mm}}$$

#### 4. 측정결과

지지재 자체가 갖고 있는 전자파 흡수능을 조사하기 위하여 폐라이트가 혼합되지 않은 각각 5 mm의 CPE와 실리콘 고무, 그리고 옷의 전자파 흡수능을 측정하고 이를 Fig. 4에 나타내었다. Fig. 4에 나타낸 바와 같이 CPE는 흡수능이 거의 없고 실리콘 고무 그리고 옷은 10 GHz 부근에서 각각 약 0.3 dB와 0.8 dB의 전자파 흡수능을 나타내고 있다.

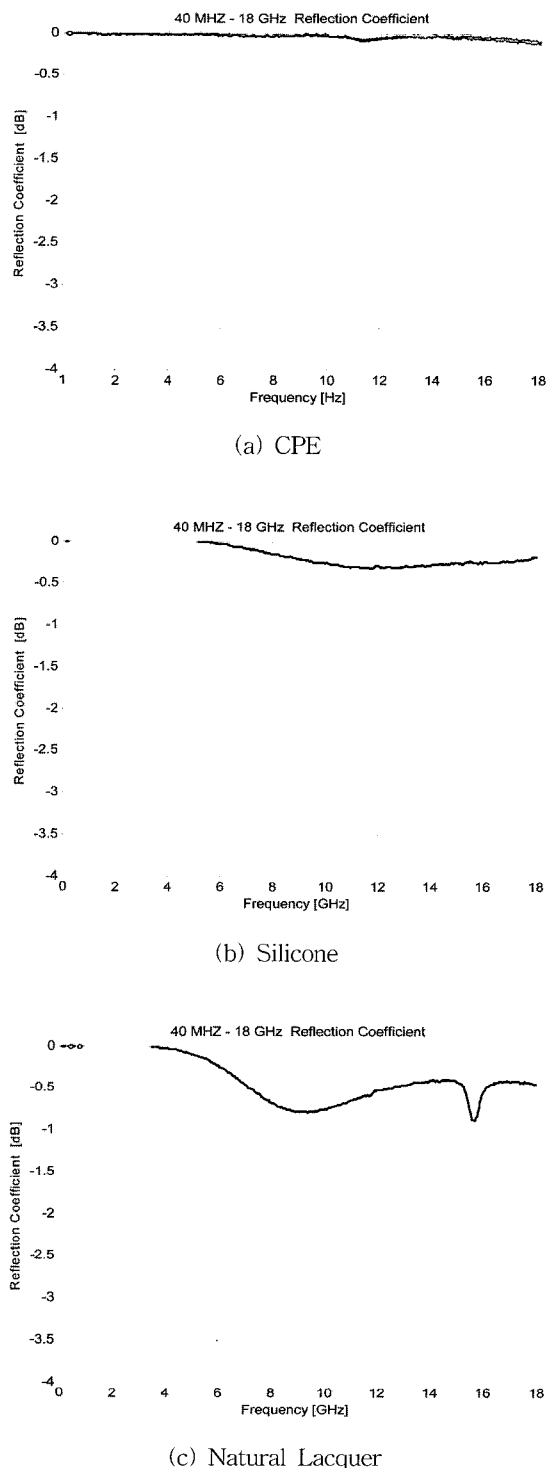
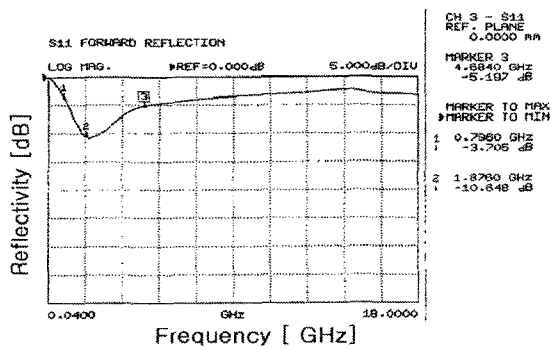


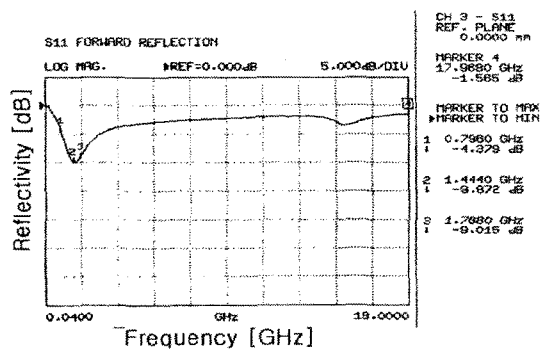
Fig. 4 Reflection coefficient for (a) CPE, (b) Silicone rubber, and (c) Natural lacquer with the thickness of 5 mm.

Fig. 5는 지지재를 각각 CPE, Silicone 그리고 옷으로 하고 여기에 MnZn 폐라이트를 혼합하여 3 mm의 두께를 갖는 전자파 흡수체를 제작한 후 이들의 전자파 흡수능을 측정한 그림이다. 일반적으로 광대역 특성은 전자파흡수체로서의 성능을 나타내는 주요 인자로 매우 중요한 위치를 차지하고 있다.

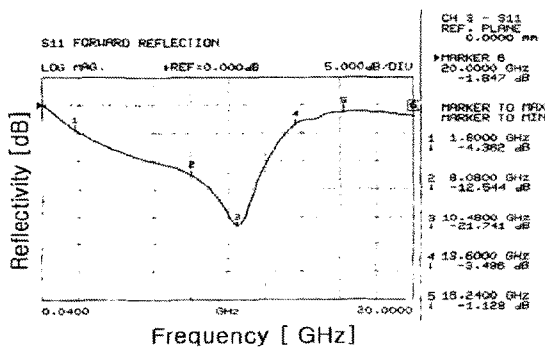
## 옻의 특징과 옻을 지지재로 사용한 전자파 흡수체의 두께에 따른 전파흡수 특성 분석



(a) Reflection coefficient of a MnZn ferrite absorber mixed with CPE.



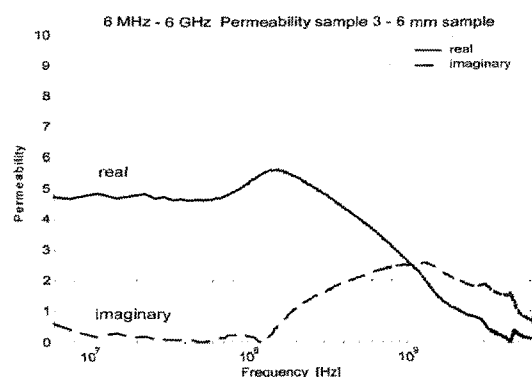
(b) Reflection coefficient of a MnZn ferrite absorber mixed with silicone rubber.



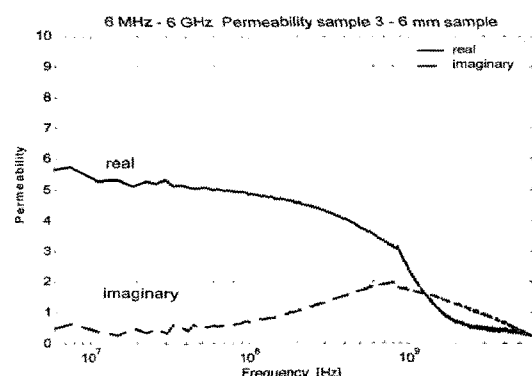
(c) Reflection coefficient of a MnZn ferrite absorber mixed with natural lacquer.

Fig. 5 Reflection coefficient for MnZn ferrite electromagnetic wave absorbers with a thickness of 3 mm mixed with (a) CPE, (b) Silicone rubber, and (c) Natural lacquer.

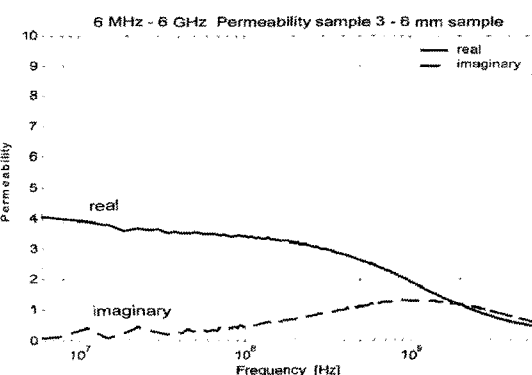
Fig. 5에 나타낸 바와 같이 5 dB 이상의 전파흡수능을 나타내는 주파수는 약 (a) 1 GHz ~ 4.7 GHz, (b) 1 GHz ~ 3GHz, (c) 2 GHz ~ 12 GHz로 CPE와 실리콘 고무를 사용한 MnZn 페라이트 전자파흡수체에 비하여 옻을 지지재로 사용한 전자파흡수체가 광대역에서 우수한 전파 흡수능을 나타낼 수 있다. 또한 각각의 정합 주파수인 (a) 1.8 GHz에서 -10.6 dB, (b) 1.4 GHz에서 -9.8 dB, (c) 10.5 GHz에서 -21.7 dB로 옻을 지지재로 이용한 MnZn 페라이트 전자파흡수체가 가장 우수한 전파흡수능을 나타내고 있다.



(a) Complex permeability of MnZn ferrite absorber mixed with CPE.



(b) Complex permeability of MnZn ferrite absorber mixed with silicone rubber.

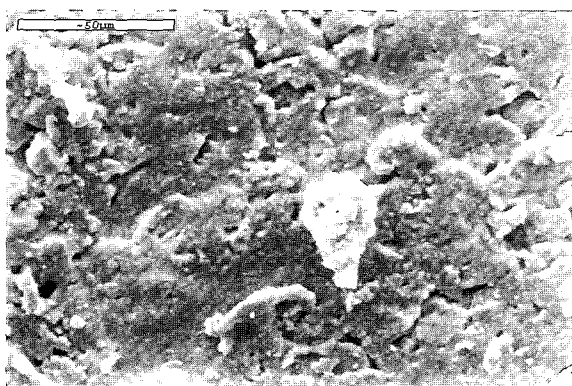


(c) Complex permeability of MnZn ferrite absorber mixed with natural lacquer.

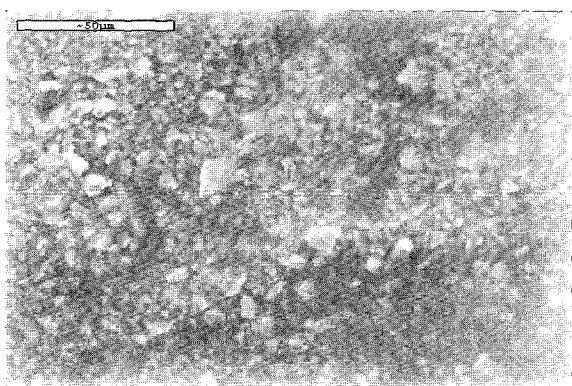
Fig. 6 Complex permeability as a function of frequency f samples mixed with (a) CPE, (b) silicone rubber, and (c) natural lacquer, respectively.

페라이트를 자성손실재로 하는 전자파 흡수체의 흡수 손실  $\tan\delta = (\mu''/\mu')$ 과 매우 밀접한 관계가 있으나 손실재는  $\tan\delta > 1$ 일 때 즉 투자율의 허수부가 실수부의 영역에서 우수한 흡수능을 나타낸다고 보고되고 1983). 따라서 Fig. 6에는 이를 시편에 대해서 주파

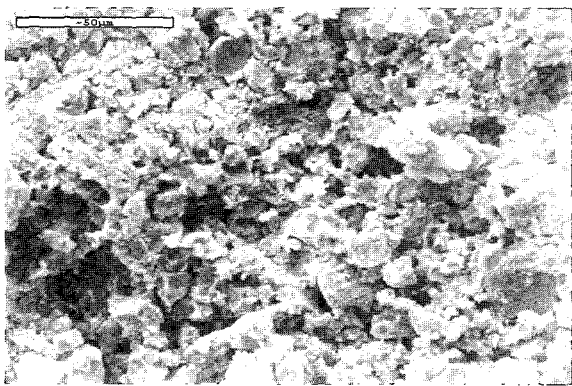
로 하는 투자율을 조사하여 나타내었다. Fig. 6에서와 같이 세 시편 모두  $\tan\delta=1$ 을 나타내는 주파수가 1 GHz 부근임을 볼 때 본 연구에서 제작한 시편 모두 보고되고 있는 사실과 잘 일치하고 있음을 알 수 있다. Fig. 7은 CPE, 실리콘 고무, 옻을 각각 지지재로 하는 MnZn 페라이트 전자파 흡수체의 표면을 전자현미경(SEM)을 통하여 관찰한 사진으로 이들 모든 지지재가 공극(空隙)을 만들지 않고 MnZn 페라이트와 잘 혼합되어 있음을 보여주고 있다.



(a) MnZn ferrite mixed with CPE.



(b) MnZn ferrite mixed with silicone rubber.



(c) MnZn ferrite mixed with natural lacquer.

Fig. 7 Surface of specimens based on (a) CPE, (b) silicone rubber, and (c) natural lacquer, respectively.

한편 페라이트 전자파 흡수체의 전자파 흡수능은 표면의

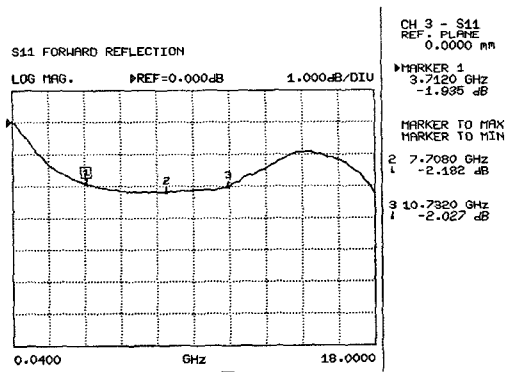
구조에도 깊은 관계가 있으며 같은 페라이트 조성을 갖는 시편일지라도 표면구조의 변화에 의해 정합주파수가 변화하는 것으로 보고되고 있다(Y., 1997). Fig. 7의 전자현미경 사진을 통하여 알 수 있는 바와 같이 옻을 지지재로 한 시편이 CPE와 실리콘 고무를 지지재로 한 시편보다 거친 표면구조를 갖고 있다는 것을 알 수 있다.

이와 같은 사실은 전자파 흡수체에 요구되는 중요한 특성 중에 하나인 광대역 특성을 갖는 전자파 흡수체의 개발에 있어 지금까지는 주로 페라이트의 조성에 관한 연구를 중심으로 이루어져 왔으나 다양한 지지재의 개발을 통한 광대역 전자파 흡수체의 개발이라는 측면에서 매우 중요한 결과라 여겨진다.

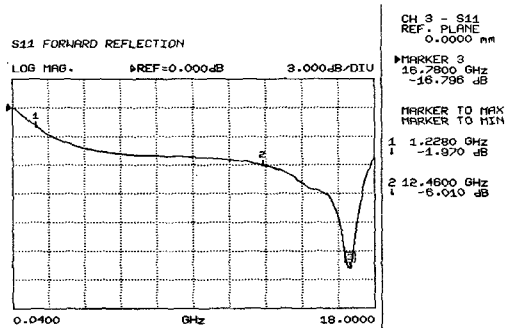
## 5. 옻 전자파흡수체의 두께에 따른 흡수능

앞의 연구에서 우리는 기존의 지지재로 주로 사용되어 오던 실리콘 고무나 CPE를 지지재로 사용한 전자파흡수체보다 옻을 지지재로 사용한 전자파흡수체의 전파흡수능이 더 우수하다는 것을 확인하였다. 따라서 Fig. 8에 옻을 지지재로 사용한 전자파흡수체 샘플의 두께를 1 mm ~ 6 mm 까지 범위로 6 종류의 전자파 흡수체를 제작하고 흡수능을 조사하여 나타내었다.

그림에서 보는 것과 같이 두께가 증가할수록 흡수능은 향상되고 정합주파수는 낮은 주파수대로 이동하는 것을 알 수 있다.



(a) 1 mm



(b) 2 mm

## 6. 결 론

본 연구는 고성능 광대역 복합형 전자파 흡수체를 개발하기 위해 지지재가 갖는 전자파 흡수능을 하였다. 지금까지 지지재로 주로 사용되어 오던 실리콘 고무와 CPE 그리고 본 연구에서 새롭게 제안하는 전통 옻칠에서 사용되어 오던 옻에 대한 전자파 흡수능을 실험에 의하여 평가하였다. 그 결과로서 실리콘 고무나 CPE에 비해 옻의 흡수능이 더 우수하다는 것을 알았다. 또한 이들 지지재와 MnZn 페라이트를 혼합한 전자파 흡수체를 제작하여 이들의 전자파 흡수능을 실험 평가하였다. 그 결과 옻을 지지재로 한 MnZn 페라이트 복합형 전자파 흡수체의 전자파 흡수능이 CPE와 실리콘 고무를 지지재로 한 전자파 흡수체에 비하여 우수한 전파흡수특성을 가지고 있으며 옻의 두께 변화에 따라 정합주파수와 전파흡수능이 변하는 것으로 나타났다.

향후 과제로는 복합형 전자파 흡수체의 광대역화를 위해 페라이트 조성의 변화에 의한 연구뿐만 아니라, 옻의 조성변화에 따른 다양한 연구를 통하여 광대역 전자파흡수체를 개발하고자 한다.

## 후 기

본 연구는 학술진흥재단(KRF-2003-005-D0006) 및 BB21의 지원에 의한 연구 결과임

## 참 고 문 헌

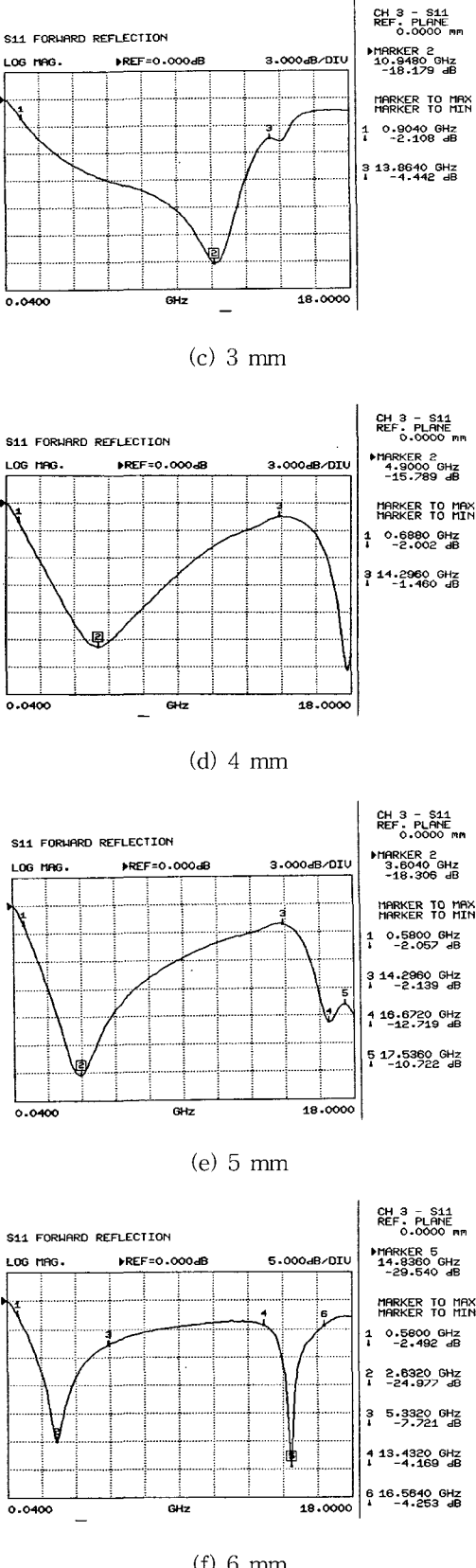


Fig. 8 Reflection coefficient of EM wave absorbers with the thickness of (a) 1 mm, (b) 2 mm, (c) 3 mm, (d) 4 mm, (e) 5 mm, and (f) 6 mm.

- [1] 김동일, 박연준, 김하근, 사공 건, 1999 “복합형 등방성 Ferrite-Rubber Composite의 전자파 흡수특성에 관한 연구”, 한국해양정보통신학회논문지, 제3권 제1호, pp. 35~42.
- [2] 박연준, 김동일, 1999 “Ni-Mn-Zn Spinel Ferrite-Rubber Composite의 전파흡수특성에 관한 연구”, 한국항해학회지, 제23권 제1호, pp.15~22.
- [3] 홍진후, 박미영, 김현경, 김양배, 최형기 2000 “자외선 경화형 아크릴 모노머에 의해 개질된 옻칠의 물성” J. Korean Ind. Eng. Chem., Vol. 11, No 6, October, 693-696.
- [4] 山下博司, 小野信幸, 橋本康雄, 石野乾, 井上光雄, 秋田慶一, 1978 “テレビゴースト防止を目的とした建材用吸収壁”, 日本電子通信學會論文誌, Vol. J16-B, No. 8. pp. 729~736.
- [5] 橋本康雄, 石野乾, 栗原弘, 1988 “TV ゴースト防止用フェライト電波吸收體”, EMCJ88-6, pp. 37-44.
- [6] Y. Kotsuka, 1997 “Ferrite Electromagnetic Wave Absorber”, 日本應用磁氣學會誌, Vol. 21, No. 10, pp. 1159-1166.
- [7] Dong Il Kim, Jae Young Bae, June Young Son, Young

- Soo Won, Jae Man Song, 2001 "A Study on Fabrication and Evaluation of Ferrite Electromagnetic Wave Absorber", Journal of The Korea Electromagnetic Engineering Society, Vol. 1, No.1, pp. 95-99.
- [8] Y. Hashimoto, 1983 "The application of ferrite as an absorber", Jap. J. Appl. Phys., Vol. 6, No. 3, pp. 175-177.

---

원고접수일 : 2004년 7월 27일

원고채택일 : 2004년 12월 2일